

Sveučilište u Rijeci

Fakultet informatike i digitalnih tehnologija

Diplomski studij IIS

# Detekcija objekata na cesti za autonomna vozila

Seminarski rad

Kolegij: Meko računarstvo, Računalni vid

Student: Ivan Fajta, Leo Maršić

Ak. god.: 2024./2025

Rijeka, veljača 2025.

## Sadržaj

1.	Uvod i Motivacija.....	3
2.	Pregled područja - algoritama za navedeni zadatak .....	3
	Klasične metode detekcije objekata .....	3
	Metode detekcije objekata temeljene na dubokom učenju .....	4
3.	Opis baze (KITTI dataset) .....	5
	Namjena KITTI dataset-a: .....	5
	Struktura i sadržaj baze podataka .....	5
	Podaci u KITTI dataset-u obuhvaćaju: .....	5
	Opis korištenih dijelova baze .....	6
	Izazovi i posebnosti KITTI dataset-a .....	6
4.	Modeli – Arhitektura .....	6
	YOLO .....	6
	Predprocesiranje .....	7
	Glavna Skripa .....	7
	Genetski Algoritam .....	7
	Fuzzy logika .....	8
	SSD .....	8
	Predprocesiranje podataka .....	9
	Glavna skripta modela SSD .....	10
	Genetski algoritam SSD modela .....	10
	Fuzzy logika .....	11
5.	Eksperimenti i analiza rezultata .....	12
	YOLO – početni .....	12
	YOLO - genetski parametri .....	15
	Fuzzy logika početni i genetski usporedba .....	17
	SSD – početni parametri .....	18
	SSD – genetski parametri .....	21
	Fuzzy usporedba SSD početni i genetski parametri .....	23
6.	Zaključak .....	24

## 1. Uvod i Motivacija

Razvoj inteligentnih transportnih sustava i autonomnih vozila posljednjih godina značajno je ubrzao napredak u računalnom vidu, posebno u području detekcije objekata na cestama. Detekcija objekata poput vozila, pješaka, biciklista i prometnih znakova, ključna je za sigurnu i učinkovitu navigaciju autonomnih sustava. Povećanje broja vozila na cestama te sve veći zahtjevi za sigurnošću i optimizacijom prometa dodatno naglašavaju važnost točnih i pouzdanih algoritama za ovaj problem.

U ovom radu fokusirali smo se na detekciju objekata na cesti. Korišteni su modeli temeljeni na konvolucijskim neuronskim mrežama (CNN), konkretno Single Shot Detector (SSD) i YOLOv8 (You Only Look Once). Ovi modeli su odabrani zbog svoje učinkovitosti u stvarnom vremenu i visoke točnosti u zadacima detekcije objekata. KITTI dataset je korišten zbog dobrih snimki cestovnog prometa.

Kako bismo dodatno poboljšali performanse modela, primijenili smo genetski algoritam za optimizaciju hiperparametara te fuzzy logiku za donošenje odluka o kvaliteti detekcije objekata. Genetski algoritam omogućava automatsko prilagođavanje parametara modela bez potrebe za ručnim podešavanjem, dok fuzzy logika uvodi dodatnu fleksibilnost u procjeni pouzdanosti detekcija.

Cilj ovog rada je istražiti utjecaj ovih metoda na performanse SSD i YOLOv8 modela, analizirati njihove prednosti i nedostatke te utvrditi koje su kombinacije najučinkovitije za detekciju objekata na cesti.

## 2. Pregled područja - algoritama za navedeni zadatak

Detekcija objekata na cestama predstavlja ključnu komponentu inteligentnih transportnih sustava i autonomnih vozila. Svrha detekcije je identificirati i klasificirati objekte u stvarnom vremenu, pri čemu je ključno postići visoku točnost i brzinu. Kroz povijest, razvijene su različite metode za rješavanje ovog problema, od klasičnih metoda temeljenih na ručno definiranim značajkama do suvremenih pristupa temeljenih na dubokom učenju.

### Klasične metode detekcije objekata

Prije pojave dubokih neuronskih mreža, detekcija objekata temeljila se na inženjerski definiranim značajkama i algoritmima za njihovo prepoznavanje. Najpoznatije klasične metode uključuju:

#### **HOG** (Histogram of Oriented Gradients)

HOG je metoda razvijena za prepoznavanje pješaka i drugih objekata analizom gradijenata slike.

#### **SIFT** (Scale-Invariant Feature Transform)

SIFT je metoda koja prepoznaje ključne točke objekta bez obzira na promjenu skale, rotaciju ili osvjetljenje. Koristi se za prepoznavanje objekata na temelju stabilnih značajki.

## Haar Cascade

Haar Cascade koristi značajke koje se temelje na integralnim slikama i trenira se pomoću algoritma koji detektira objekte kroz hijerarhijski niz jednostavnih klasifikatora. Poznata je po svojoj primjeni u detekciji lica.

Klasične metode postigle su značajan napredak u ranijim fazama računalnog vida, ali njihova učinkovitost drastično opada u složenijim i dinamičnim okruženjima poput cestovnog prometa.

## Metode detekcije objekata temeljene na dubokom učenju

Pojavom konvolucijskih neuronskih mreža (CNN) otvorene su nove mogućnosti za detekciju objekata. Za razliku od klasičnih metoda, CNN automatski uči značajke iz podataka, čime se povećava preciznost i prilagodljivost modela. Razlikujemo nekoliko značajnih arhitektura:

### R-CNN (Regions with CNN features)

R-CNN generira potencijalne regije na slici, a zatim koristi CNN za njihovu klasifikaciju.

### Fast R-CNN

Poboljšana verzija R-CNN-a koja koristi zajedničku CNN mrežu za cijelu sliku, smanjujući vrijeme obrade.

*Za ovaj rad koristili smo SSD i YOLOv8 zbog njihove učinkovitosti u real-time detekciji. Ovi modeli omogućuju brzu obradu podataka, što je ključno u prometu.*

### SSD (Single Shot Detector)

SSD koristi višeslojnu arhitekturu kako bi detektirao objekte na različitim razinama slike. Svaki sloj fokusira se na objekte različitih veličina, što omogućuje balansiranje između točnosti i brzine.

Prednosti: Brži od R-CNN modela i učinkovit za real-time aplikacije.

Nedostaci: Teže prepoznaje manje objekte zbog prirode višeslojne arhitekture.

### YOLOv8

YOLOv8 generacija YOLO algoritama sadrži optimizacije u arhitekturi, napredne mehanizme za predviđanje bounding boxova i skalabilnost. Model koristi "anchor-free" pristup i poboljšane loss funkcije.

Prednosti: Izuzetna brzina i točnost, pogodan za složene scenarije.

Nedostaci: Kod preklapanja objekata može doći do smanjenja preciznosti.

Zaključno, razvoj detekcije objekata prošao je značajan put od klasičnih metoda do dubokih neuronskih mreža. Odabrani modeli SSD i YOLOv8 predstavljaju suvremene, učinkovite i brze pristupe detekciji objekata, pri čemu dodatna primjena genetskog algoritma i fuzzy logike može dodatno unaprijediti njihove performanse.

### 3. Opis baze (KITTI dataset)

Za potrebe ovog rada koristili smo KITTI dataset, jedan od najpoznatijih i najkorištenijih skupova podataka u području računalnog vida i autonomne vožnje. Ova baza podataka razvijena je na Institutu za računalnu znanost Sveučilišta u Karlsruheu u suradnji s Toyota Technological Institutom u Chicagu. Glavni cilj KITTI dataset-a je pružiti raznolik i realističan skup podataka koji simulira stvarne uvjete vožnje u urbanim, prigradskim i ruralnim prometnim okruženjima.

#### Namjena KITTI dataset-a:

KITTI dataset je namijenjen razvoju, testiranju i evaluaciji algoritama za:

Detekciju i klasifikaciju objekata na cesti

Praćenje objekata kroz vremenske okvire (object tracking)

Semantičku i instancijsku segmentaciju prometne scene

Procjenu dubine (depth estimation) i odometriju vozila

Planiranje putanje i lokalizaciju autonomnih sustava

Zahvaljujući svojoj sveobuhvatnosti, KITTI dataset često se koristi kao referentna točka za usporedbu performansi različitih modela računalnog vida, uključujući SSD i YOLO modele koji su korišteni u ovom radu.

#### Struktura i sadržaj baze podataka

KITTI dataset prikupljen je tijekom vožnje automobila kroz različite dijelove Karlsruhea i njegove okolice. Sustav za prikupljanje podataka uključivao je napredne senzore:

Kamere: Dvije stereo kamere visoke rezolucije (RGB) postavljene na prednjoj strani vozila za simulaciju ljudskog vida.

LiDAR senzor: Velodyne HDL-64E za prikupljanje 3D point cloud podataka.

GPS i IMU sustav: Za preciznu lokalizaciju i mjerenje dinamike vozila.

Mi koristimo 5200 train slika, 1481 validation slika i 800 test slika.

#### Podaci u KITTI dataset-u obuhvaćaju:

RGB slike – korištene za detekciju objekata u dvodimenzionalnom prostoru.

Anotacije objekata: Ručne anotacije za različite klase objekata (automobili, pješaci, biciklisti itd.), koje uključuju informacije o koordinatama bounding boxova, klasama objekata i orijentaciji.

Kalibracijski podaci: Za usklađivanje kamera i senzorskih podataka.

## Opis korištenih dijelova baze

Klase objekata: Car, Van, Truck, Pedestrian, Person\_sitting, Cyclist, Tram.

Anotacije objekata: koordinate bounding boxova, klase objekata i orijentacija

## Izazovi i posebnosti KITTI dataset-a

Različite veličine objekata: Pješaci i biciklisti često su manji u odnosu na vozila, što predstavlja izazov za modele poput SSD-a.

Preklapanje objekata: Na urbanim raskrižjima često dolazi do preklapanja vozila, što otežava ispravno pozicioniranje bounding boxova.

KITTI dataset predstavlja izuzetno kvalitetan skup podataka za razvoj i testiranje algoritama za detekciju objekata na cesti. Njegova raznolikost i kvaliteta podataka omogućili su nam detaljnu evaluaciju performansi SSD i YOLOv8 modela, kao i analizu učinka genetskog algoritma i fuzzy logike na njihovu učinkovitost.

## 4. Modeli – Arhitektura

Programski alati:

- Python 3.9
- Tensorflow 2.10.0 -gpu

### YOLO

Koristimo yolov8n.pt koji je pred treniran model YOLOv8 koji sadrži:

- Arhitekturu modela – Definiciju slojeva neuronske mreže.
- Težine modela – Naučene parametre
- Konfiguracijske postavke

## Predprocesiranje

Skripta konvertira KITTI oznake u YOLO format prilagođavanjem koordinata bounding boxova.

Povezuje nazive klasa iz KITTI formata s odgovarajućim ID-evima u YOLO formatu.

- Učitava bounding box u KITTI formatu (x1, y1, x2, y2).
- Konvertira ga u YOLO format (x\_center, y\_center, width, height)
- Sprema rezultate u odgovarajući YOLO .txt datoteku

.yaml datoteka se koristi kao pokazivač za YOLO model

## Glavna Skripta

### 1. Postavljanje okoline

Provjerava dostupnost GPU-a i postavlja TensorFlow tako da optimizira memoriju ako je moguće.

Sprječava multiprocessing grešku na Windows sustavu.

### 2. Treniranje YOLO modela

Koristi predtrenirani YOLOv8 Nano model za početak treninga.

Nakon treninga, učitava se najbolji (best.pt) trenirani model iz direktorija rezultata.

### 3. Testiranje modela

Učitava testne slike iz direktorija i provodi detekciju objekata pomoću treniranog modela.

Detektirane slike sprema u izlazni direktorij

### 4. Evaluacija modela

Model se evaluira na testnom skupu

Ispisuju se evaluacijske vrijednosti

## Genetski Algoritam

Koristili smo genetski algoritam za optimizaciju hiperparametara prilikom treniranja YOLOv8 modela na KITTI datasetu.

### Skripta za određivanje parametara:

#### 1. Definicija hiperparametara

Postavljeni su rasponi za batch size, veličinu slike, learning rate i optimizator.

Generira se nasumična kombinacija hiperparametara za eksperimentiranje.

## 2. Evaluacija modela

Trenira YOLO model koristeći generirane hiperparametre.

Nakon treninga, provodi evaluaciju na testnom skupu i vraća mAP@50 kao mjernu vrijednost.

## 3. Genetski algoritam

Inicijalizira populaciju s nasumično generiranim hiperparametrima.

Evolucija kroz generacije:

Treniraju se i evaluiraju modeli.

Selektiraju se najbolji modeli (gornjih 50%).

Stvaraju se novi potomci križanjem i mutacijom hiperparametara.

## Fuzzy logika

Primjenjivanje fuzzy logike za analizu pouzdanosti detekcija.

Ulazi: confidence i size

Izlaz: decision

Svaku detekciju procjenjuje fuzzy sustav i kategorizira u nisko, srednje ili visoko povjerenje.

Grupiranje detekcije po klasama i razinama povjerenja.

Rezultati se spremaju u "detection\_summary.txt".

Model se evaluira na testnom skupu uz metrike:

mAP@50, mAP@50-95, preciznost, recall, F1 score, vrijeme inferencije

## SSD

Počeli smo graditi model sa „ssd\_mobilenet\_v2\_fpnlite\_320x320\_coco17\_tpu-8“ koji je pred-trenirani model za objektno prepoznavanje.

- MobileNetV2 – lagana konvolucijska neuronska mreža
- FPNLite (Feature Pyramid Network Lite) – poboljšana struktura mreže za bolje prepoznavanje objekata različitih veličina.
- 320x320 – ulazne slike su veličine 320x320 piksela.
- COCO 2017 – treniran na COCO dataset-u (Common Objects in Context)



## Predprocesiranje podataka

1. Skripta za konverziju YOLO formata anotacija u COCO JSON format.

Za svaku YOLO anotaciju:

Učitava se slika i dobivaju dimenzije

YOLO bounding box se mijenja u COCO bounding box

Kreira se COCO JSON struktura sa:

"images": informacije o slici

"annotations": anotacije objekata

"categories": lista kategorija

Sprema se u JSON datoteku.

2. Skripta koja COCO anotacije mijenja u TFRecord format koji je potreban za treniranje modela u TensorFlow Object Detection API

Učitava sliku

Ekstraktira bounding box anotacije

Konvertira ih u TFRecord format

Generira TFRecord datoteke

Kreira label\_map.pbtxt koji povezuje ID klase sa njenim imenom

Struktura modela SSD:

- exporter\_main\_v2.py – export gotovog modela iz checkpointa
- model\_main\_tf2.py – skripta SSD model koja vodi treniranje ili testiranje
- kitti\_u\_coco.py – pretvorba KITTI formata podataka u COCO
- format\_tfrecord.py – stvaranje tfrecord datoteka za funkciju SSD modela
- pipeline.config – datoteka za sve postavke i parametre SSD modela

## Glavna skripta modela SSD

### Postavljanje TensorFlow GPU konfiguracije

Kod detektira dostupne GPU uređaje i postavlja memory growth kako bi se izbjegli problemi sa RAM-om.

### Treniranje SSD modela

Koristi model\_main\_tf2.py za pokretanje treninga.

Koristi pipeline.config file za podešavanje hiperparametara.

### Eksportiranje modela u SavedModel format

Poslije treninga, model se eksportira u SavedModel format pomoću exporter\_main\_v2.py.

Ovo omogućava da se kasnije koristi za inferenciju i testiranje.

### Testiranje modela na test slikama

Učitava eksportirani model pomoću tf.saved\_model.load().

Izvodi detekciju objekata i crta bounding boxeve na slikama.

Čuva slike sa i bez bounding boxeva

### Evaluacija modela

Evaluacija se pokreće pomoću model\_main\_tf2.py

Model se testira na test skupu i prikazuju se rezultati performansi.

## Genetski algoritam SSD modela

Inicijalizacija populacije te se stvara početna grupa nasumičnih jedinki unutar definiranih raspona.

Genetski optimizator testira sljedeće hiperparametre unutar definiranih raspona:

- l2\_regularizer\_weight – Regularizacija modela
- gamma – Parametar fokalne gubitne funkcije
- alpha – Balansiranje pozitivnih/negativnih uzoraka u fokalnoj gubitnoj funkciji
- learning\_rate\_base – Početna stopa učenja
- warmup\_learning\_rate – Početna stopa učenja tijekom zagrijavanja
- warmup\_steps – Broj koraka za warmup fazu
- momentum\_optimizer\_value – Vrijednost momentuma za optimizator

Evaluacija – Za svaku jedinku:

- Generira se odgovarajući pipeline.config s hiperparametrima

- Pokreće se trening modela

- Nakon treninga, pokreće se evaluaciju i dohvaća mAP iz TensorBoard logova.

Selekcija – Odabire najbolje jedinke (one s najvećim mAP)

Crossover i mutacija – Kombinira parametre odabranih jedinki kako bi stvorio novu generaciju.

Proces se ponavlja kroz više generacija, poboljšavajući hiperparametre modela kroz evoluciju.

Na kraju se ispisuje optimalni skup hiperparametara koji je postigao najbolji mAP.

## Fuzzy logika

Primjenjivanje fuzzy logike za analizu pouzdanosti detekcija.

Obrada detekcija

- Parsira label\_map.pbtxt kako bi mapirao ID klasa na njihova imena

- Koristi fuzzy logiku za ocjenjivanje kvaliteta detekcije na osnovu confidence-a

- Postavlja adaptivni prag detekcije u zavisnosti od kvaliteta predikcije.

Spremanje rezultata

- Sprema rezultate detekcije u detection\_log.txt.

- Ispisuje statistiku po klasama i confidence razinama (low, medium, high).

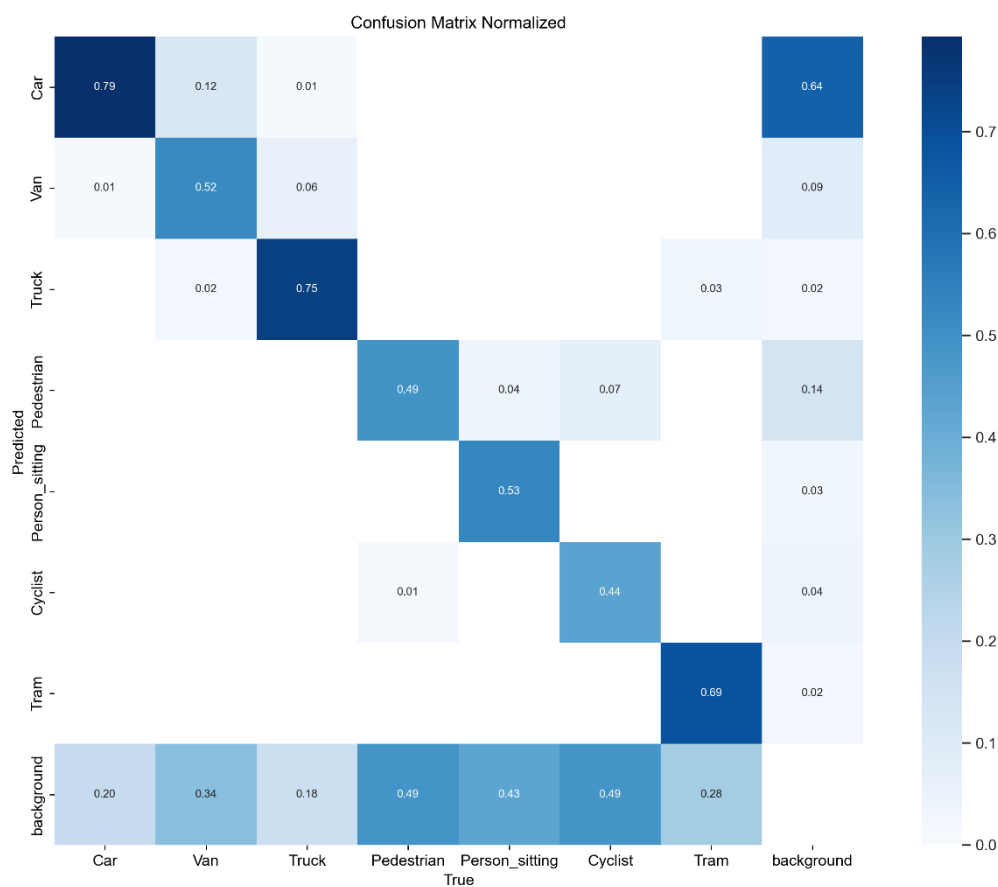
## 5. Eksperimenti i analiza rezultata

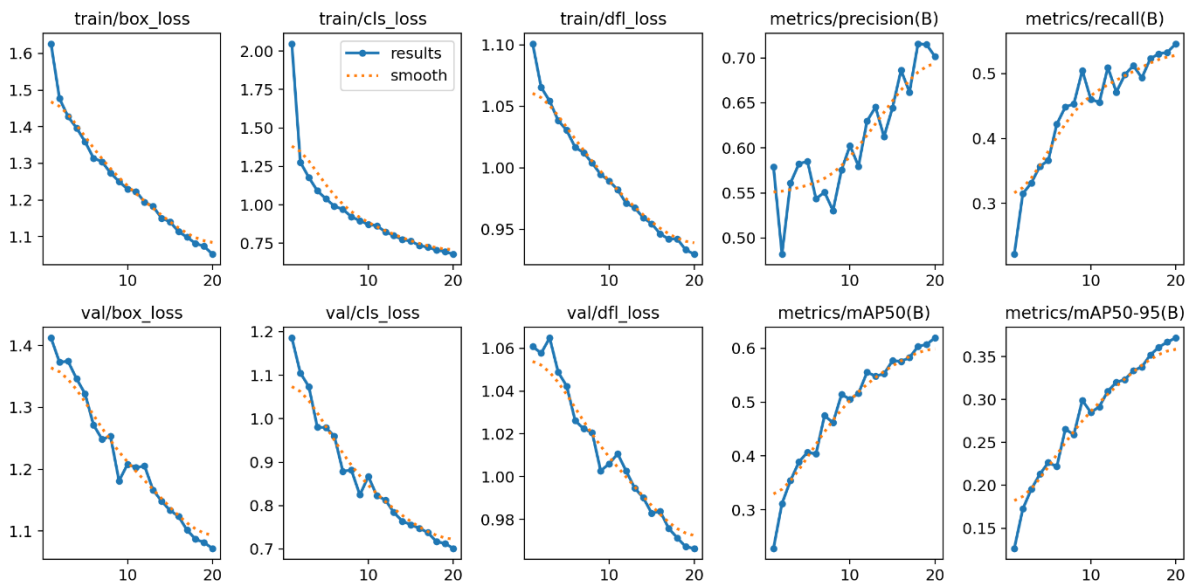
### YOLO – početni

Treniranje smo izvršili na 20 epoha s čime smo dobili ove rezultate.

Pri treniranju modela se po matrici konfuzije na slici ispod može vidjeti velika točnost od 80% za detekciju automobila dok i svi ostale detekcije imaju znatnu točnost od ~50% ili više.

Puno klasa van dijagonale matrice nemaju vrijednost što znači da nema puno pogrešnih klasifikacija.





Na slici prije možemo vidjeti metrike treniranja.

#### 1. Analiza Loss-a

- train/box\_loss, train/cls\_loss, train/dfl\_loss, val/box\_loss, val/cls\_loss, val/dfl\_loss
- Sve loss vrijednosti pokazuju opadajući trend, što je pozitivan znak jer znači da model sve bolje uči kako predviđati bounding boxove i klasifikacije.
- Početne vrijednosti su visoke, ali kroz epohe postupno padaju.

Model konvergira ispravno i ne pokazuje znakove prenaučivosti

#### 2. Analiza metričkih performansi

- Preciznost raste, što znači da model postaje bolji u razlikovanju ispravnih od pogrešnih detekcija.
- Recall također raste, što znači da model uspijeva prepoznati više stvarnih objekata u slikama.
- mAP50 raste i približava se 0.8, što znači da model postiže visoku točnost detekcije
- mAP50-95 raste, što pokazuje da model postaje sve precizniji i pri strožim kriterijima

Model poboljšava preciznost detekcije objekata kroz epohe, što je dobar pokazatelj.

Zaključno:

Sve loss vrijednosti opadaju - Model uspješno uči.

Preciznost i recall rastu - Manje pogrešnih detekcija i više pravih pogodaka.

mAP metrike se poboljšavaju - Model je sve precizniji u prepoznavanju objekata.

Na sljedećoj slici se mogu vidjeti primjeri detekcija modela.



```

Ultralytics 8.3.51 Python-3.9.0 torch-1.12.1+cu113 CUDA:0 (NVIDIA GeForce RTX 2060, 6144MiB)
val: Scanning D:\venv sa python 3.9\rmvid_data\labels\test.cache... 800 images, 0 backgrounds, 0 corrupt: 100% | 800/800 [00:00<, ?it/s]

```

Class	Images	Instances	Box(P)	R	mAP50	mAP50-95)
all	800	4258	0.663	0.565	0.644	0.429
Car	728	3124	0.831	0.762	0.845	0.631
Van	226	308	0.687	0.584	0.688	0.518
Truck	115	120	0.892	0.692	0.823	0.613
Pedestrian	189	458	0.613	0.402	0.533	0.267
Person_sitting	11	27	0.341	0.519	0.411	0.221
Cyclist	119	167	0.563	0.347	0.481	0.278
Tram	35	54	0.714	0.648	0.728	0.472

```

Speed: 0.1ms preprocess, 1.0ms inference, 0.0ms loss, 0.7ms postprocess per image
Results saved to runs\detect\val6
Evaluacija završena!
mAP@50: 0.6442
mAP@50-95: 0.4286
Precision: 0.6632
Recall: 0.5649
F1 Score: 0.6018

```

Prethodna slika prikazuje evaluaciju na testnom skupu slika.

Finalne metrike su :

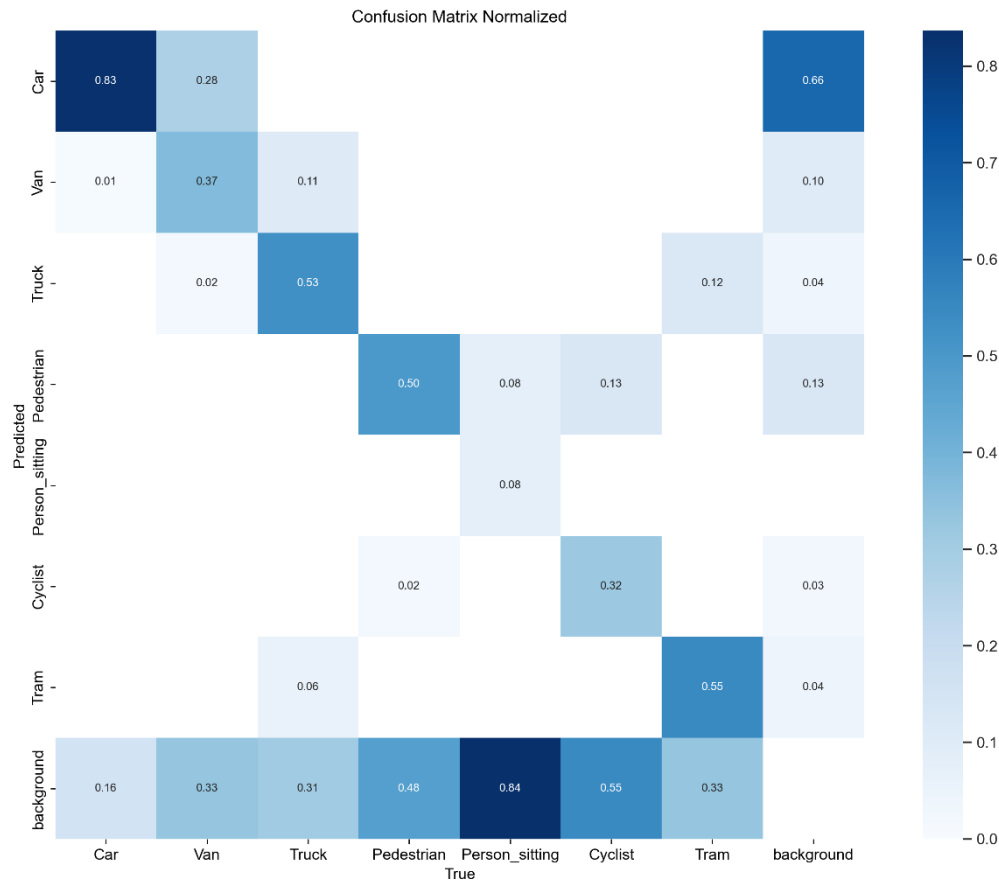
- mAP@50 0.6422 - model prepoznaje većinu objekata.
- mAP@50-95: 0.4286 - pokazuje da model nije precizan na visokim IoU pragovima
- preciznost 0.6632 - model izbjegava previše lažnih detekcija.
- recall 0.5649 - model propušta dosta pravih objekata.
- F1 score: 0.6018 - Zaključak: Model je umjereno dobar

## YOLO - genetski parametri

```
Results saved to D:\yolo_runs\train_kitti44
MLflow: results logged to runs\mlflow
MLflow: disable with 'yolo settings mlflow=False'
Najbolji model u generaciji 5: ({'batch': 16, 'imgsz': 640, 'learning_rate': 4.581624584296001e-05, 'optimizer': 'Adam'}, 0)

Genetska optimizacija završena!
Najbolji pronađeni parametri: {'batch': 16, 'imgsz': 640, 'learning_rate': 4.581624584296001e-05, 'optimizer': 'Adam'}
```

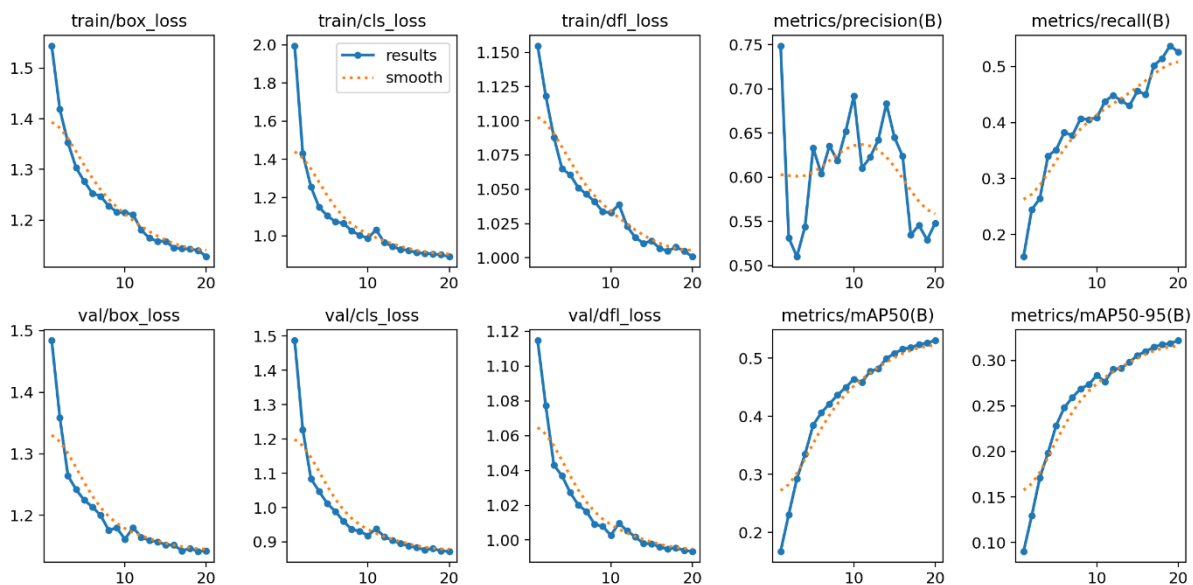
Prethodna slika pokazuje koje parametre je genetski algoritam uzeo za najpovoljniji trening modela. Za razliku od početnog modela velika promjena je povećanje batch size-a i veličine slike.



Treniranje smo izvršili na 20 epoha s čime smo dobili ove rezultate.

Pri treniranju modela se po matrici konfuzije na slici poviše se mogu vidjeti neki lošiji rezultati nego na početnom modelu. Na primjer osoba koja sjedi se jedva prepoznaje dok biciklist i tramvaj se malo bolje prepoznaju.

Usporedno rezultati su lošiji.



Na slici prije možemo vidjeti metrike treniranja.

1. Analiza Loss-a

- train/box\_loss, train/cls\_loss, train/dfl\_loss, val/box\_loss, val/cls\_loss, val/dfl\_loss
- Usporedno s prošlim modelom ove metrike su slične samo što više osciliraju

2. Analiza metričkih performansi

- Preciznost je puno lošija te opada kroz epohe treniranja
- mAP50 i mAP50-95 su slični samo manje osciliraju

Zaključno: genetski model je na kraju lošiji.



```
Results saved to runs\detect\val7
Evaluacija završena!
mAP@50: 0.5063
mAP@50-95: 0.3120
Precision: 0.6693
Recall: 0.3211
F1 Score: 0.4047
Inference time: 0.96ms per image
```

Prethodna slika prikazuje rezultate evaluacije modela:

- mAP@50 0.5063 - Početni YOLO model ima znatno viši rezultat, što znači da bolje prepoznaje objekte na nižim IoU pragovima
- mAP@50-95: 0.3120 - Slično kao i za mAP@50,
- preciznost 0.6693 – Genetski model s promijenjenim parametrima ima nešto bolju preciznost, što znači da bolje izbjegava lažne detekcije
- recall 0.3211 - Postoji značajna razlika, genetski optimizirani model pokazuje znatno niži recall
- F1 score: 0.4047 – Genetski model se lošije nosi s pronalaženjem objekata

## Fuzzy logika početni i genetski usporedba

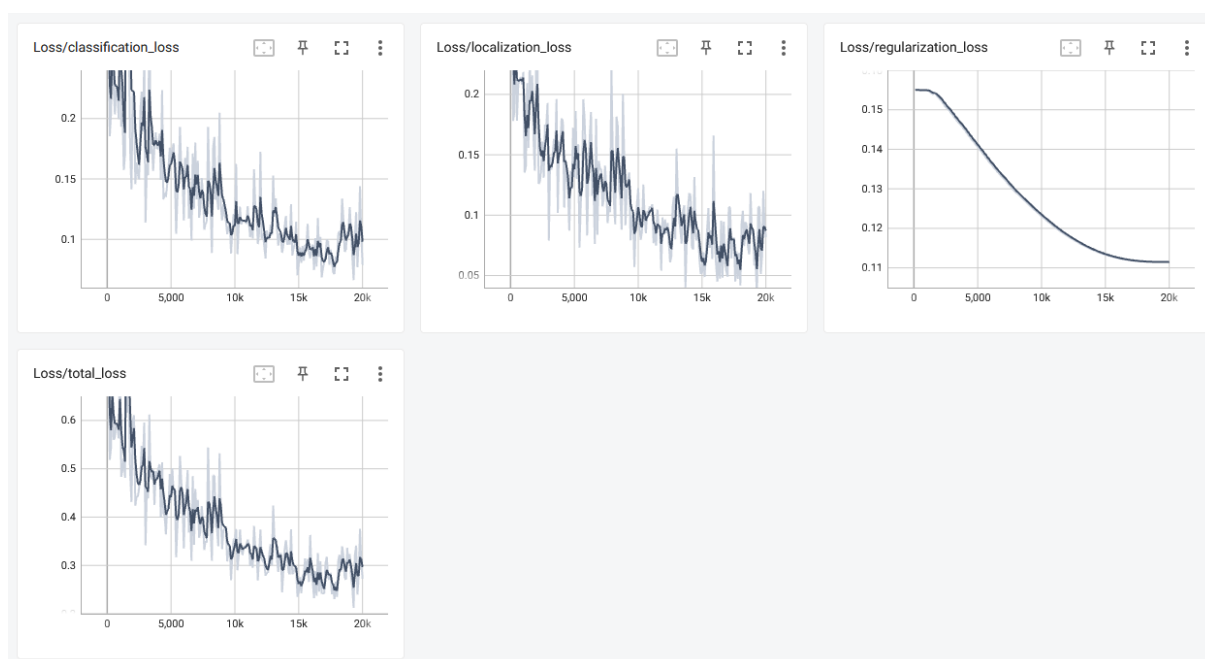
Klasa: Car Visoko povjerenje: 1462 objekata Srednje povjerenje: 753 objekata Nisko povjerenje: 385 objekata	Klasa: Car Visoko povjerenje: 1729 objekata Srednje povjerenje: 915 objekata Nisko povjerenje: 500 objekata
Klasa: Cyclist Visoko povjerenje: 13 objekata Srednje povjerenje: 28 objekata Nisko povjerenje: 16 objekata	Klasa: Cyclist Nisko povjerenje: 29 objekata Srednje povjerenje: 42 objekata Visoko povjerenje: 14 objekata
Klasa: Van Srednje povjerenje: 75 objekata Visoko povjerenje: 87 objekata Nisko povjerenje: 36 objekata	Klasa: Van Visoko povjerenje: 105 objekata Nisko povjerenje: 35 objekata Srednje povjerenje: 82 objekata
Klasa: Pedestrian Nisko povjerenje: 78 objekata Srednje povjerenje: 161 objekata Visoko povjerenje: 11 objekata	Klasa: Pedestrian Srednje povjerenje: 194 objekata Nisko povjerenje: 71 objekata Visoko povjerenje: 25 objekata
Klasa: Truck Visoko povjerenje: 55 objekata Srednje povjerenje: 23 objekata Nisko povjerenje: 5 objekata	Klasa: Truck Visoko povjerenje: 56 objekata Srednje povjerenje: 30 objekata Nisko povjerenje: 17 objekata
Klasa: Tram Srednje povjerenje: 18 objekata Visoko povjerenje: 17 objekata Nisko povjerenje: 6 objekata	Klasa: Tram Nisko povjerenje: 10 objekata Srednje povjerenje: 24 objekata Visoko povjerenje: 15 objekata
Klasa: Person_sitting Srednje povjerenje: 12 objekata Nisko povjerenje: 7 objekata	Klasa: Person_sitting Srednje povjerenje: 2 objekata Nisko povjerenje: 3 objekata

Na lijevoj strani prethodne slike se nalaze rezultati fuzzy logike na početnom modelu YOLO, a desno na modelu sa parametrima iz genetskog algoritma

Može se vidjeti da fuzzy logika znatno pomaže genetskom YOLO modelu tako što povećava broj detekcija i viših povjerenja u detekcije

Zaključno fuzzy logika pomaže stabilizirati genetski model te poboljšava rezultate detekcija.

## SSD – početni parametri



Na temelju prikazanih grafova može se analizirati proces učenja modela kroz različite komponente loss-a:

### 1. Classification Loss

Gornji lijevi graf prikazuje gubitak klasifikacije

Model postupno uči razlikovati klase objekata

### 2. Localization Loss

Gornji srednji graf prikazuje lokalizacijski gubitak, tj. sposobnost modela da točno postavi bounding boxove oko objekata.

Model postupno poboljšava pozicioniranje objekata

### 3. Regularization Loss

Regularizacija učinkovito djeluje, što znači da model postaje stabilniji tijekom učenja.

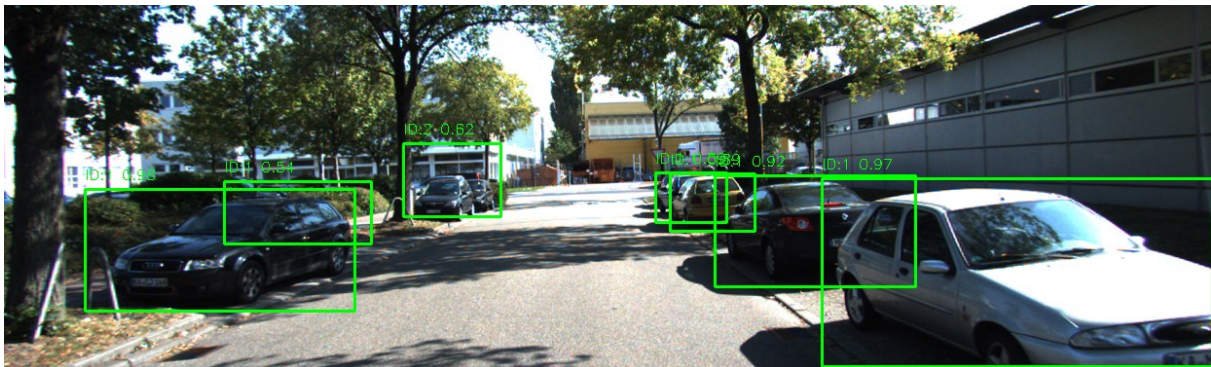
### 4. Total Loss

Unatoč oscilacijama u lokalizacijskom i klasifikacijskom loss-u, ukupni gubitak se smanjuje, što znači da model uči na zadovoljavajući način.

Zaključak:

Model uspješno uči, s jasnim trendom smanjenja svih komponenti gubitka.

Sljedeća slika je prikaz detekcije objekata u modelu



```
creating index...
index created!
creating index...
index created!
Running per image evaluation...
Evaluate annotation type *bbox*
DONE (t=7.69s).
Accumulating evaluation results...
DONE (t=1.41s).
Average Precision (AP) @[ IoU=0.50:0.95 | area= all | maxDets=100 ] = 0.379
Average Precision (AP) @[ IoU=0.50 | area= all | maxDets=100 ] = 0.662
Average Precision (AP) @[ IoU=0.75 | area= all | maxDets=100 ] = 0.384
Average Precision (AP) @[ IoU=0.50:0.95 | area= small | maxDets=100 ] = 0.142
Average Precision (AP) @[ IoU=0.50:0.95 | area=medium | maxDets=100 ] = 0.358
Average Precision (AP) @[ IoU=0.50:0.95 | area= large | maxDets=100 ] = 0.532
Average Recall (AR) @[ IoU=0.50:0.95 | area= all | maxDets= 1 ] = 0.299
Average Recall (AR) @[ IoU=0.50:0.95 | area= all | maxDets= 10 ] = 0.497
Average Recall (AR) @[ IoU=0.50:0.95 | area= all | maxDets=100 ] = 0.529
Average Recall (AR) @[ IoU=0.50:0.95 | area= small | maxDets=100 ] = 0.356
Average Recall (AR) @[ IoU=0.50:0.95 | area=medium | maxDets=100 ] = 0.498
Average Recall (AR) @[ IoU=0.50:0.95 | area= large | maxDets=100 ] = 0.675
[INFO] Evaluacija gotova.
Evaluacija završena!
```

Prethodna slika prikazuje rezultate evaluacije modela na testnom skupu.

## 1. Average Precision

(IoU=0.50:0.95) = 0.379 - model postiže solidnu točnost

(IoU=0.50) = 0.662 - Visoka preciznost na nižem pragu preklapanja – model dobro prepoznaje objekte, ali ponekad griješi u preciznom pozicioniranju bounding boxova.

(IoU=0.75) = 0.384 - Model se teže prilagođava strožim kriterijima preklapanja

Po veličini objekata:

Mali objekti (small) = 0.142 - izazovno za model zbog manje vidljivosti.

Srednji objekti (medium) = 0.358 - solidni rezultati.

Veliki objekti (large) = 0.532 - najbolji rezultati, što je očekivano jer su veći objekti vizualno istaknutiji.

## 2. Average Recall

mjeri koliko je model uspješan u pronalasku svih relevantnih objekata.

AR (IoU=0.50:0.95, maxDets=1) = 0.299

AR (maxDets=10) = 0.497 Značajno poboljšanje s više detekcija.

AR (maxDets=100) = 0.529 Sveukupno solidan rezultat.

AR po veličini objekata:

Mali objekti (small) = 0.356 - relativno nizak zbog složenosti detekcije manjih objekata.

Srednji objekti (medium) = 0.498 - dobra učinkovitost.

Veliki objekti (large) = 0.675 – dobar rezultat

Zaključak:

Učinkovitije detektira velike objekte u odnosu na male objekte, što sugerira potrebu za dodatnom augmentacijom podataka i finim podešavanjem za manje objekte.

Precision na 0.50 IoU (0.662) ukazuje na to da model dobro prepoznaje objekte, ali treba poboljšanja u preciznijem pozicioniranju.

## SSD – genetski parametri

Sljedeća slika prikazuje output odabiranja najbolje jedinice genetskog algoritma.

```
1825915, 'warmup_steps': 1496, 'momentum_optimizer_value': 0.843383711158265, 'fitness': array(0.2146231, dtype=float32))
Generacija 5 završena.

--- Najbolja jedinica nakon GA optimizacije ---
l2_regularizer_weight: 4.939090089077647e-05
gamma: 2.5268807831772402
alpha: 0.6498315925622935
learning_rate_base: 0.0981974381517448
total_steps: 2541
warmup_learning_rate: 0.04368512781825915
warmup_steps: 1496
momentum_optimizer_value: 0.843383711158265
Fitness (mAP): 0.2146

Optimizirani parametri: {'l2_regularizer_weight': 4.939090089077647e-05, 'gamma': 2.5268807831772402, 'alpha': 0.6498315925622935, 'learning_rate_base': 0.0981974381517448, 'total_steps': 2541, 'warmup_learning_rate': 0.04368512781825915, 'warmup_steps': 1496, 'momentum_optimizer_value': 0.843383711158265, 'fitness': array(0.21462329, dtype=float32)}
```

```
creating index...
index created!
creating index...
index created!
Running per image evaluation...
Evaluate annotation type *bbox*
DONE (t=7.20s).
Accumulating evaluation results...
DONE (t=1.35s).
Average Precision (AP) @[ IoU=0.50:0.95 | area= all | maxDets=100 ] = 0.360
Average Precision (AP) @[ IoU=0.50 | area= all | maxDets=100 ] = 0.643
Average Precision (AP) @[ IoU=0.75 | area= all | maxDets=100 ] = 0.348
Average Precision (AP) @[ IoU=0.50:0.95 | area= small | maxDets=100 ] = 0.189
Average Precision (AP) @[ IoU=0.50:0.95 | area=medium | maxDets=100 ] = 0.344
Average Precision (AP) @[ IoU=0.50:0.95 | area= large | maxDets=100 ] = 0.508
Average Recall (AR) @[ IoU=0.50:0.95 | area= all | maxDets= 1 ] = 0.291
Average Recall (AR) @[ IoU=0.50:0.95 | area= all | maxDets= 10 ] = 0.488
Average Recall (AR) @[ IoU=0.50:0.95 | area= all | maxDets=100 ] = 0.520
Average Recall (AR) @[ IoU=0.50:0.95 | area= small | maxDets=100 ] = 0.319
Average Recall (AR) @[ IoU=0.50:0.95 | area=medium | maxDets=100 ] = 0.490
Average Recall (AR) @[ IoU=0.50:0.95 | area= large | maxDets=100 ] = 0.673
[INFO] Evaluacija gotova.
Evaluacija završena!
```

Prethodna slika prikazuje rezultate evaluacije genetskog modela na testnom skupu

Usporedno s prethodnim rezultatima početnog modela:

Average Precision

AP (IoU=0.50:0.95) = 0.360 - Blagi pad točnosti

AP (IoU=0.50) = 0.643 - Lagani pad preciznosti na nižem pragu.

AP (IoU=0.75) = 0.348 - Smanjena preciznost kod strožih kriterija preklapanja.

Precision po veličini objekata:

Mali objekti = 0.189 – Poboljšanje – model sada bolje detektira male objekte.

Srednji objekti = 0.344 - Blagi pad detekcije srednjih objekata.

Veliki objekti = 0.508 - Smanjena točnost za velike objekte.

### Average Recall

AR (IoU=0.50:0.95, maxDets=1) = 0.291 - niže

AR (maxDets=10) = 0.488 - niže

AR (maxDets=100) = 0.520 - niže

### AR po veličini objekata:

Mali objekti (small) = 0.319 - niže

Srednji objekti (medium) = 0.490 - niže

Veliki objekti (large) = 0.673 – slično

### Zaključak:

- Pad ukupne preciznosti
- Vjerojatno uzrokovan smanjenom učinkovitošću na srednjim i velikim objektima.
- Napredak u detekciji malih objekata
- Pozitivno poboljšanje, što može ukazivati na bolje prilagođavanje modela za sitne objekte.

## Fuzzy usporedba SSD početni i genetski parametri

<pre>--- Statistika detekcija --- Klasa Car:   Confidence high: 1002 detekcija   Confidence low: 762 detekcija   Confidence medium: 716 detekcija Klasa Van:   Confidence medium: 161 detekcija   Confidence high: 101 detekcija   Confidence low: 227 detekcija Klasa Cyclist:   Confidence low: 99 detekcija   Confidence medium: 34 detekcija   Confidence high: 2 detekcija Klasa Pedestrian:   Confidence low: 262 detekcija   Confidence medium: 19 detekcija Klasa Truck:   Confidence low: 42 detekcija   Confidence high: 37 detekcija   Confidence medium: 32 detekcija Klasa Tram:   Confidence low: 21 detekcija   Confidence medium: 23 detekcija   Confidence high: 12 detekcija Klasa Person_sitting:   Confidence medium: 11 detekcija   Confidence low: 15 detekcija   Confidence high: 1 detekcija</pre>	<pre>--- Statistika detekcija --- Klasa Car:   Confidence high: 1084 detekcija   Confidence medium: 1323 detekcija   Confidence low: 1941 detekcija Klasa Pedestrian:   Confidence low: 1238 detekcija   Confidence medium: 391 detekcija Klasa Cyclist:   Confidence low: 525 detekcija   Confidence medium: 132 detekcija   Confidence high: 11 detekcija Klasa Van:   Confidence low: 674 detekcija   Confidence medium: 377 detekcija   Confidence high: 126 detekcija Klasa Truck:   Confidence low: 108 detekcija   Confidence medium: 82 detekcija   Confidence high: 42 detekcija Klasa Tram:   Confidence low: 59 detekcija   Confidence medium: 40 detekcija   Confidence high: 15 detekcija Klasa Person_sitting:   Confidence low: 73 detekcija   Confidence medium: 40 detekcija   Confidence high: 7 detekcija</pre>
--	--

Na lijevoj strani prethodne slike se nalaze rezultati fuzzy logike na početnom modelu SSD, a desno na modelu sa parametrima iz genetskog algoritma

Može se vidjeti da fuzzy logika znatno pomaže genetskom SSD modelu tako što povećava broj low detekcija i ponekad high povjerenja u detekcije

Zaključno fuzzy logika pomaže stabilizirati genetski model te poboljšava rezultate detekcija

## 6. Zaključak

U ovom radu istražili smo različite metode detekcije objekata na cesti za autonomna vozila, koristeći modele YOLOv8 i SSD. KITTI dataset korišten je kao osnova za treniranje i evaluaciju modela, skup podataka koji simulira stvarne uvjete cestovnog prometa. Glavni cilj rada bio je analizirati performanse ovih modela te istražiti utjecaj genetskog algoritma i fuzzy logike na njihovu učinkovitost.

Rezultati eksperimenata pokazali su da YOLOv8 model postiže bolje rezultate u usporedbi sa SSD modelom, posebno u pogledu preciznosti i brzine detekcije.

Međutim, primjena genetskog algoritma za optimizaciju hiperparametara nije uvijek dovela do poboljšanja performansi. Kod YOLOv8 modela, genetski optimizirani parametri rezultirali su lošijim rezultatima u odnosu na početni model, dok je kod SSD modela došlo do blagog poboljšanja u detekciji malih objekata, ali uz pad ukupne preciznosti.

Fuzzy logika pokazala se korisnom u poboljšanju pouzdanosti detekcija, posebno kod genetski optimiziranih modela, gdje je pomogla u stabilizaciji rezultata i povećanju broja detekcija s visokim povjerenjem.